

第6章 连续时间系统的s域分析

6.1 拉氏变换

6.2 拉氏反变换

6.3 利用拉氏变换解微分方程

6.4 利用拉氏变换分析电路

6.5 系统函数

回顾

- 拉普拉斯反变换
 - 部分分式法

本次课学习内容

- 拉普拉斯变换求解微分方程
- 拉普拉斯变换分析电路
- 系统函数及零极点分析
- 拉普拉斯变换分析电路
- 系统函数及零极点分析

例4. 求 $F(s) = \frac{s+8}{s^3+4s^2+8s}$ 的拉氏反变换

解:
$$F(s) = \frac{s+8}{s[(s+2)^2+4]} = \frac{1}{s} - \frac{s+3}{(s+2)^2+4}$$

$$= \frac{1}{s} - \frac{s+2}{(s+2)^2+2^2} - \frac{1}{2} \frac{2}{(s+2)^2+2^2}$$

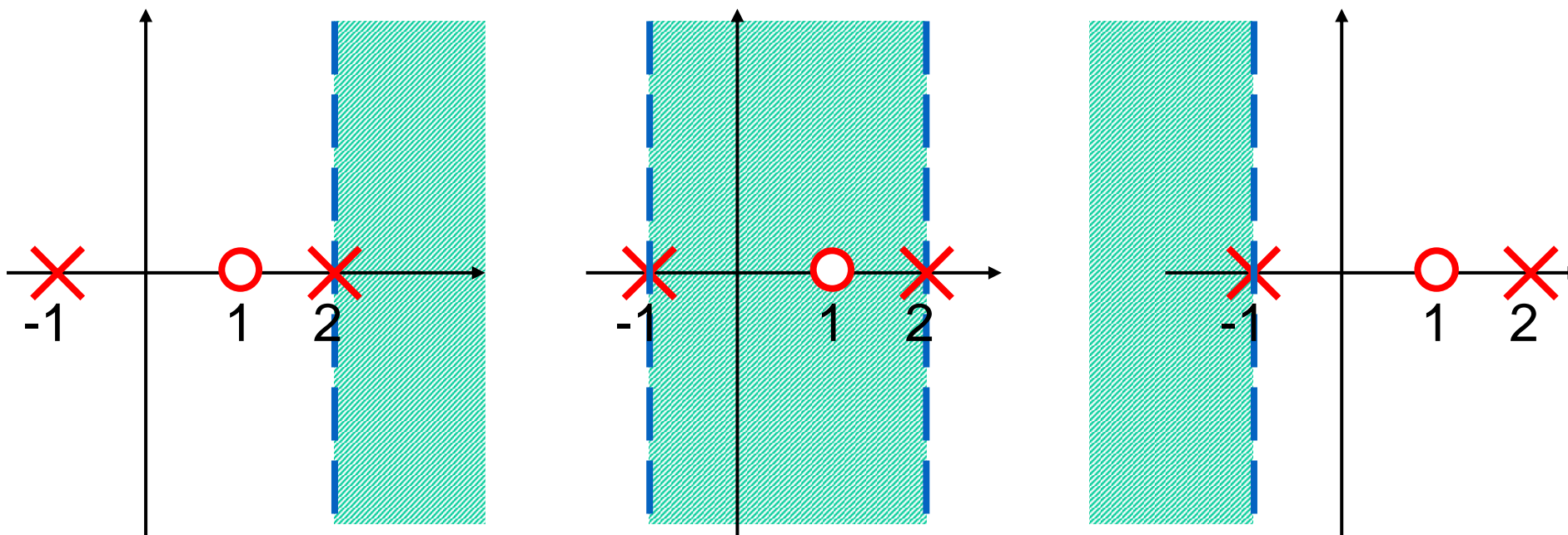
$$\leftrightarrow \left\{ 1 - e^{-2t} \left(\cos 2t + \frac{1}{2} \sin 2t \right) \right\} \varepsilon(t)$$

$$\cos \omega_0 t \cdot \varepsilon(t) \leftrightarrow \frac{s}{s^2 + \omega_0^2}, \quad \operatorname{Re}\{s\} > 0$$

$$\sin \omega_0 t \cdot \varepsilon(t) \leftrightarrow \frac{\omega_0}{s^2 + \omega_0^2}, \quad \operatorname{Re}\{s\} > 0$$

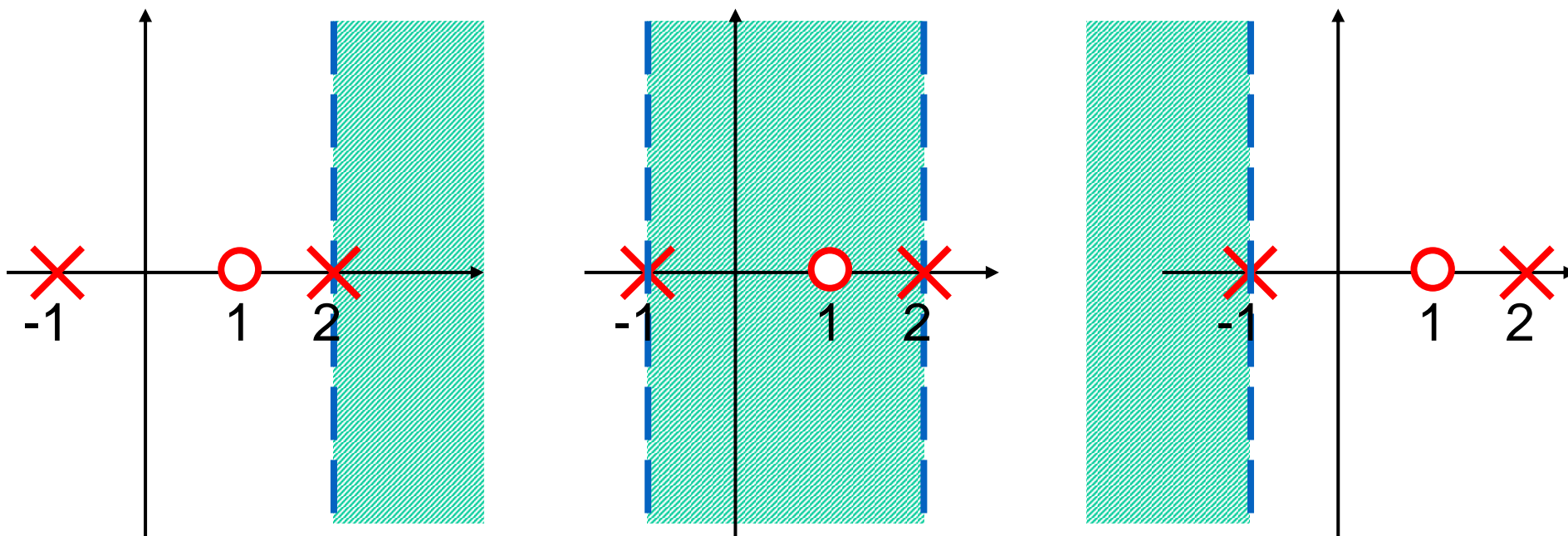
求指定收敛域的拉氏反变换

例5. 已知 $H(s) = \frac{s-1}{(s+1)(s-2)}$, 求它在不同的收敛域上反变换



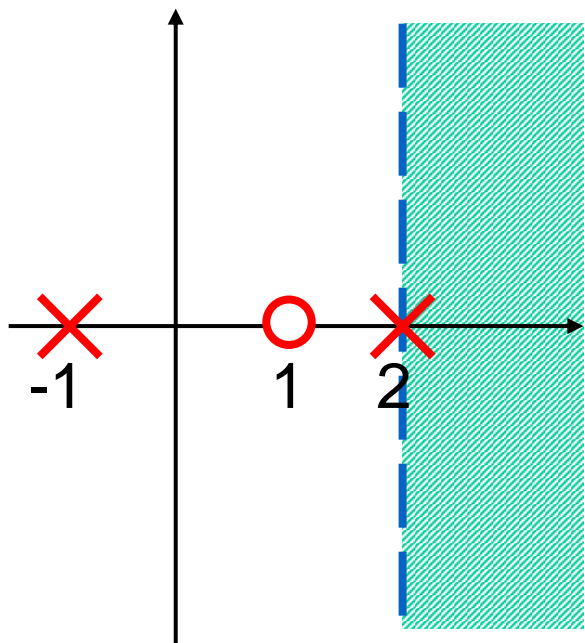
例5. 已知 $H(s) = \frac{s-1}{(s+1)(s-2)}$, 求它在不同的收敛域上反变换

解: $H(s) = \frac{1}{3} \left(\frac{2}{s+1} + \frac{1}{s-2} \right)$, 极点如图



例5. 已知 $H(s) = \frac{s-1}{(s+1)(s-2)}$, 求它在不同的收敛域上反变换

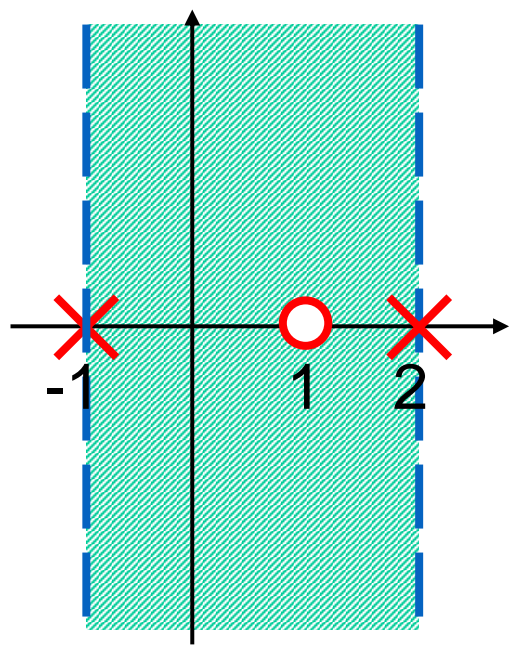
解: $H(s) = \frac{1}{3} \left(\frac{2}{s+1} + \frac{1}{s-2} \right)$, 极点如图



$$h(t) = \left(\frac{2}{3} e^{-t} + \frac{1}{3} e^{2t} \right) \varepsilon(t), \quad \text{Re}\{s\} > 2$$

例5. 已知 $H(s) = \frac{s-1}{(s+1)(s-2)}$, 求它在不同的收敛域上反变换

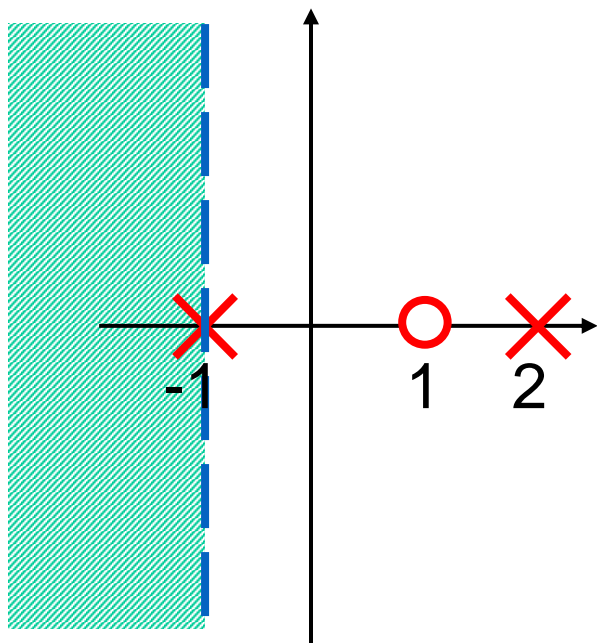
解: $H(s) = \frac{1}{3} \left(\frac{2}{s+1} + \frac{1}{s-2} \right)$, 极点如图



$$h(t) = \frac{2}{3} e^{-t} \varepsilon(t) - \frac{1}{3} e^{2t} \varepsilon(-t), \quad -1 < \operatorname{Re}\{s\} < 2$$

例5. 已知 $H(s) = \frac{s-1}{(s+1)(s-2)}$, 求它在不同的收敛域上反变换

解: $H(s) = \frac{1}{3} \left(\frac{2}{s+1} + \frac{1}{s-2} \right)$, 极点如图



$$h(t) = -\left(\frac{2}{3} e^{-t} + \frac{1}{3} e^{2t} \right) \varepsilon(-t), \quad \text{Re}\{s\} < -1$$

拉普拉斯变换有三大应用：

- 1、利用拉普拉斯变换解方程
- 2、利用拉普拉斯变换分析电路
- 3、利用拉普拉斯变换分析系统稳定性

6.1拉普拉斯变换

6.2 拉普拉斯反变换

6.3 拉普拉斯变换求解微分方程

6.4 拉普拉斯变换分析电路

6.5 系统函数及零极点分析

6.3 利用拉氏变换解微分方程

-- 微分方程的S域解法

- 微分方程的S域解法

利用傅里叶变换的频域分析法

$$y_{zs}(t) = f(t) * h(t)$$

$$Y_{zs}(j\omega) = F(j\omega) \cdot H(j\omega)$$

只能求零状态响应。

• 微分方程的s域解法

step1 方程两边单边拉氏变换，利用微分性质(代入初始状态)

$$y(t)\varepsilon(t) \leftrightarrow Y(s) \Rightarrow y^{(1)}(t)\varepsilon(t) \leftrightarrow sY(s) - y(0^-)$$

$$y^{(2)}(t)\varepsilon(t) \leftrightarrow s^2Y(s) - sy(0^-) - y^{(1)}(0^-) \dots$$

$$y^{(n)}(t)\varepsilon(t) \leftrightarrow$$

$$s^n F(s) - s^{n-1} f(0^-) - s^{n-2} f^{(1)}(0^-) - \dots - f^{(n-1)}(0^-)$$

$$= s^n F(s) - \sum_{k=n-1}^0 s^k f^{(n-1-k)}(0^-)$$

step2 代数运算求出 $Y(s)$

step3 拉氏反变换求出 $y(t)$

例. 求如下系统全响应

$$y^{(2)}(t) + 3y^{(1)}(t) + 2y(t) = 2f^{(1)}(t) + f(t)$$

$$f(t) = e^{-3t}\varepsilon(t), \quad y(0^-) = 1, \quad y^{(1)}(0^-) = 1$$

解: 1) 对微分方程两边取拉氏变换

$$\begin{aligned} \{s^2Y(s) - sy(0^-) - y^{(1)}(0^-)\} + 3\{sY(s) - y(0^-)\} + 2Y(s) \\ = 2sF(s) + F(s) \end{aligned}$$

$$2) \Rightarrow (s^2 + 3s + 2)Y(s) = (2s + 1)F(s) + \{sy(0^-) + y^{(1)}(0^-) + 3y(0^-)\}$$

$$\Rightarrow Y(s) = \underbrace{\frac{(2s + 1)}{(s^2 + 3s + 2)}F(s)}_{\text{零状态响应}} + \underbrace{\frac{sy(0^-) + y^{(1)}(0^-) + 3y(0^-)}{(s^2 + 3s + 2)}}_{\text{零输入响应}}$$

$$Y(s) = \underbrace{\frac{2s+1}{s^2+3s+2}F(s)}_{\text{零状态响应}} + \underbrace{\frac{sy(0^-) + y^{(1)}(0^-) + 3y(0^-)}{s^2+3s+2}}_{\text{零输入响应}}$$

$$= \underbrace{\frac{2s+1}{s^2+3s+2} \frac{1}{s+3}}_{\text{零状态响应}} + \underbrace{\frac{s+4}{s^2+3s+2}}_{\text{零输入响应}}$$

$$3)y(t) = \underbrace{\left(-\frac{1}{2}e^{-t} + 3e^{-2t} - \frac{5}{2}e^{-3t} \right) \varepsilon(t)}_{\text{零状态响应}} + \underbrace{(3e^{-t} - 2e^{-2t}) \varepsilon(t)}_{\text{零输入响应}}$$

$$y(t) = \frac{5}{2}e^{-t} + e^{-2t} - \frac{5}{2}e^{-3t}, \quad \underline{t > 0}$$

6.4 拉普拉斯变换分析电路

电路中的基本定律KCL、KVL及基本元件VAR
可以用单边拉普拉斯变换形式表示出来！

$$\text{KCL: } \sum_{r=1}^K i_r(t) = 0 \leftrightarrow \sum_{r=1}^K I_r(s) = 0$$

$$\text{KVL: } \sum_{j=1}^K u_j(t) = 0 \leftrightarrow \sum_{j=1}^K U_j(s) = 0$$

基本元件的s域VAR

电阻: $u(t) = Ri(t) \leftrightarrow U(s) = RI(s)$

电感: $u(t) = L \frac{di(t)}{dt} \leftrightarrow U(s) = L(sI(s) - i(0^-))$

$$\Rightarrow U(s) = sLI(s) - Li(0^-)$$

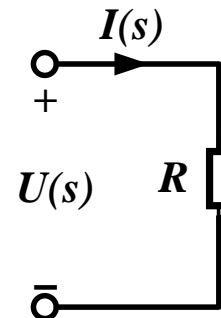
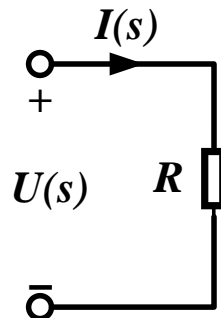
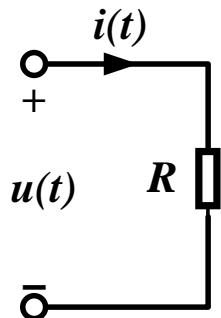
$$\Rightarrow I(s) = \frac{1}{sL}U(s) + \frac{1}{s}i(0^-)$$

电容: $i(t) = C \frac{du(t)}{dt} \leftrightarrow I(s) = C(sU(s) - u(0^-))$

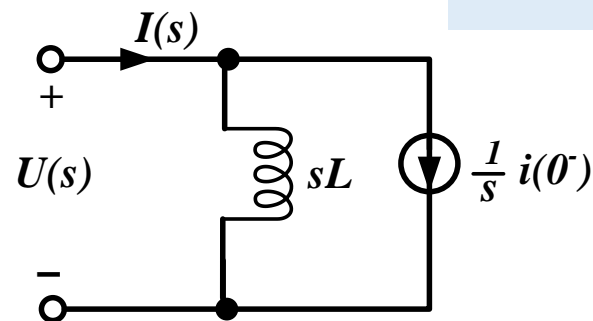
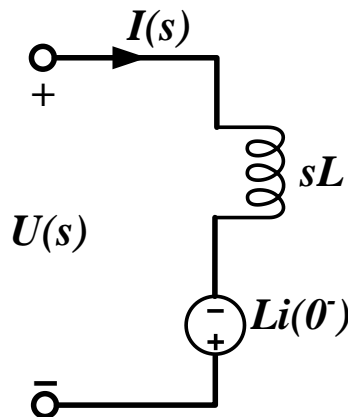
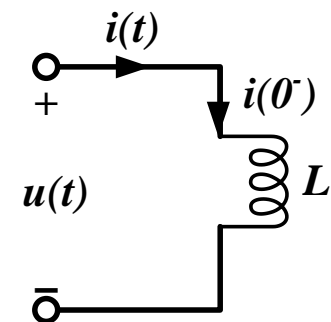
$$\Rightarrow I(s) = sCU(s) - Cu(0^-)$$

$$\Rightarrow U(s) = \frac{1}{sC}I(s) + \frac{1}{s}u(0^-)$$

基本元件的s域模型

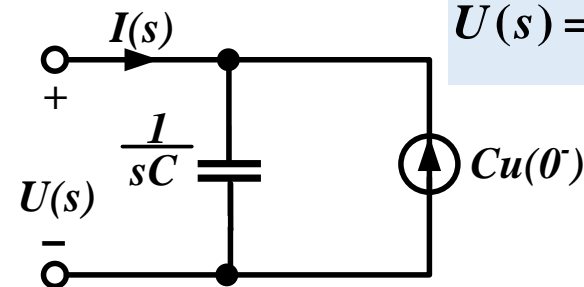
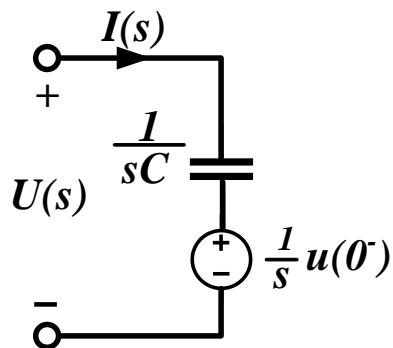
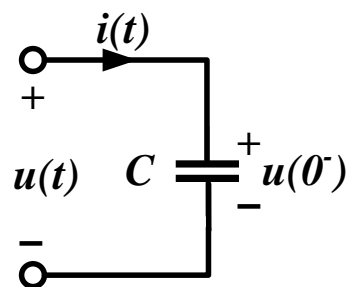


$$U(s) = RI(s)$$



$$U(s) = sLI(s) - Li(0^-)$$

$$I(s) = \frac{1}{sL}U(s) + \frac{1}{s}i(0^-)$$



$$I(s) = sCU(s) - Cu(0^-)$$

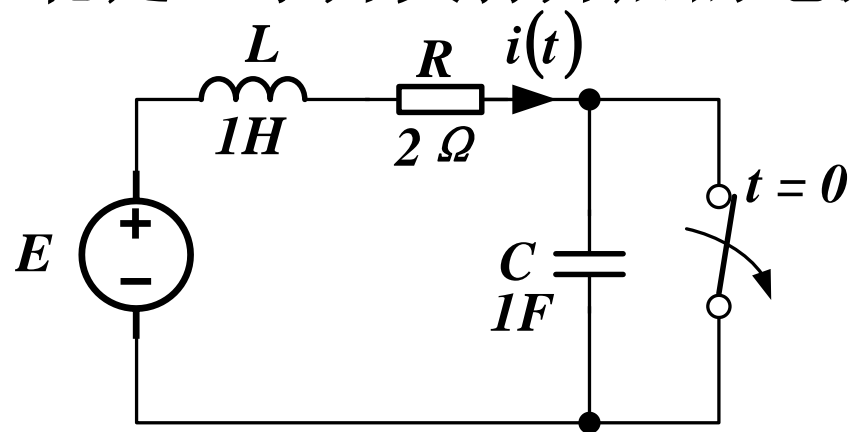
$$U(s) = \frac{1}{sC}I(s) + \frac{1}{s}u(0^-)$$

(a) 时域模型

(b) s域串联模型

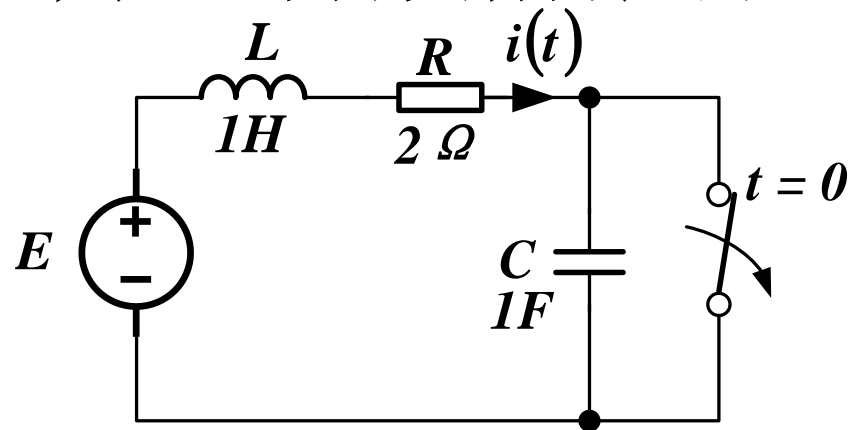
(c) s域并联模型

例：如图(a)所示电路，开关在 $t=0$ 时打开，开关打开前电路已稳定，求开关打开后的电流 $i(t)$ 。

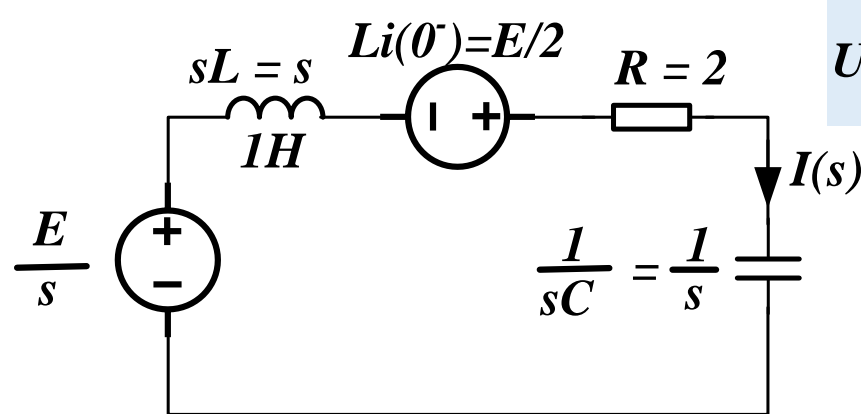


(a) 时域电路

例：如图(a)所示电路，开关在 $t=0$ 时打开，开关打开前电路已稳定，求开关打开后的电流 $i(t)$ 。



(a) 时域电路



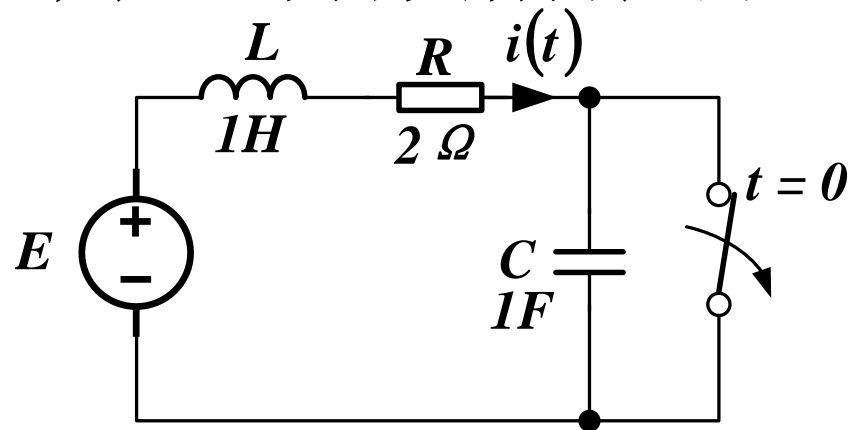
(b) s域电路

$$U_L(s) = sLI(s) - Li(0^-)$$

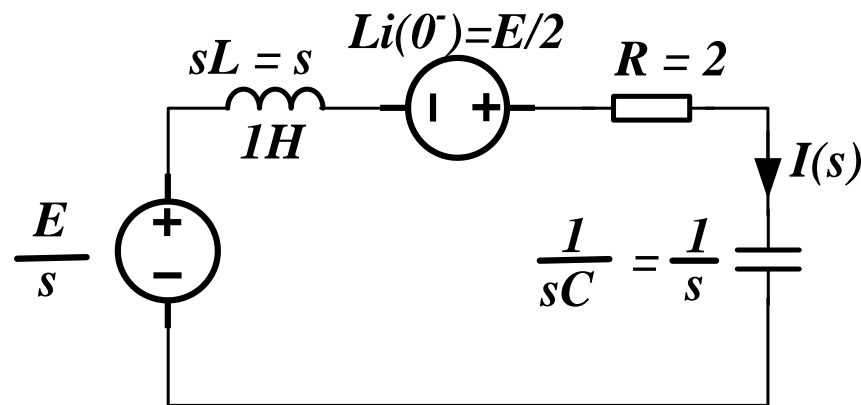
$$U_C(s) = \frac{1}{sC} I(s) + \frac{1}{s} u(0^-)$$

容易求得 $i_L(0^-) = E/2, u_C(0^-) = 0$ 画出开关打开后的s域电路如图(b)所示。

例：如图(a)所示电路，开关在 $t=0$ 时打开，开关打开前电路已稳定，求开关打开后的电流 $i(t)$ 。



(a) 时域电路



(b) s域电路

解：容易求得 $i_L(0^-) = E/2, u_C(0^-) = 0$ 画出开关打开后的s域电路如图(b)所示。

列KVL方程有：
$$sI(s) - \frac{E}{2} + 2I(s) + \frac{1}{s}I(s) = \frac{E}{s}$$

故
$$I(s) = \frac{E}{2} \frac{s+2}{s^2+2s+1} = \frac{E}{2} \left[\frac{1}{(s+1)^2} + \frac{1}{s+1} \right] \quad \therefore i(t) = \frac{E}{2} (te^{-t} + e^{-t})\varepsilon(t)$$

6.5 系统函数

6.5.1 系统函数

6.5.2 系统函数的频率特性

6.5.3 系统的稳定性与因果性

6.5.4 系统函数与时域响应

6.5.1 系统函数

1. 系统函数的定义

$$G(s) := \frac{Y_{zs}(s)}{F(s)}$$



2. 系统函数是其单位冲激响应的拉氏变换

$$y_{zs}(t) = f(t) * h(t) \Rightarrow Y_{zs}(s) = F(s) \cdot \mathcal{L}[h(t)]$$

$$\Rightarrow G(s) = \frac{Y_{zs}(s)}{F(s)} = \mathcal{L}[h(t)] = H(s)$$

3. 求系统函数的方法

例. 求因果系统 $y''(t) + 3y'(t) + 2y(t) = 2f'(t) + f(t)$
的系统函数

解: 1) 方程两边求拉氏变换 (零状态)

$$s^2 Y_{zs}(s) + 3s Y_{zs}(s) + 2Y_{zs}(s) = 2sF(s) + F(s)$$

$$\Rightarrow (s^2 + 3s + 2)Y_{zs}(s) = (2s + 1)F(s)$$

$$2) \quad H(s) = \frac{2s + 1}{(s + 1)(s + 2)} = \frac{-1}{(s + 1)} + \frac{3}{(s + 2)}$$

3) 进一步还可求得系统的单位冲激响应

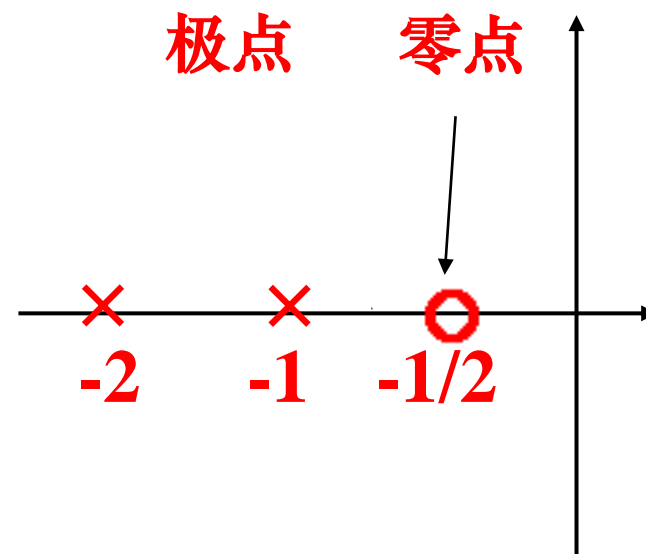
$$\Rightarrow h(t) = -e^{-t}\varepsilon(t) + 3e^{-2t}\varepsilon(t)$$

4. 系统函数的零点与极点

例. 求因果系统 $y''(t) + 3y'(t) + 2y(t) = 2f'(t) + f(t)$ 的零极点

解: $H(s) = \frac{2s + 1}{(s + 1)(s + 2)}$

极点: $s_1 = -1, s_2 = -2$; 零点 $z_1 = -1/2$



极零点图: 将极点、零点标记在复平面。

极点以 “ \times ” 表示, 零点用 “ \circ ” 表示

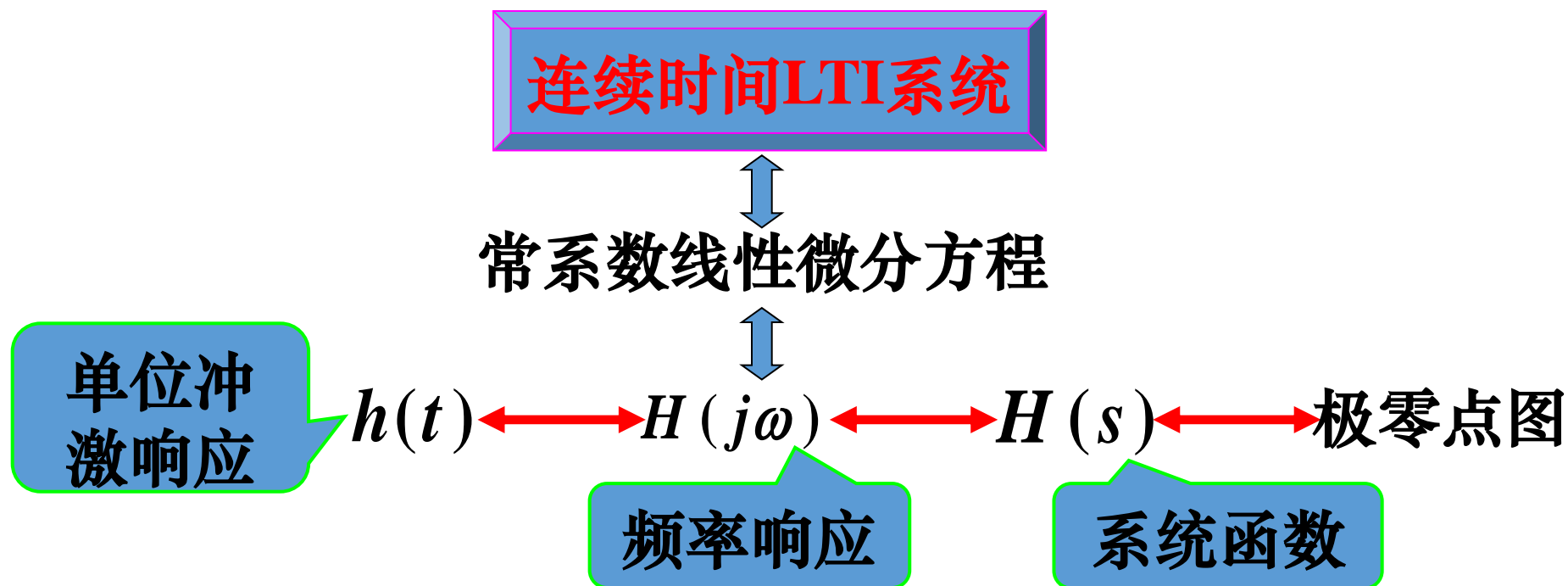
6.5.2 系统函数的频率特性

1. 频率特性的定义

$$h(t) \xleftrightarrow{FT} H(j\omega),$$

$$h(t) \xleftrightarrow{LT} H(s)$$

$$H(j\omega) = H(s) \big|_{s=j\omega}, \text{ ROC 含 } j\omega \text{ 轴}$$



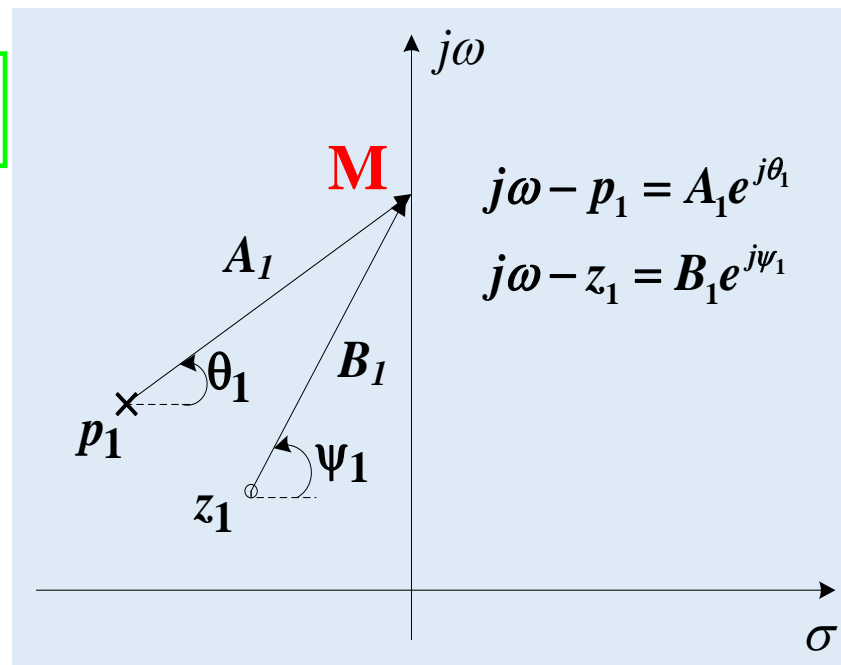
2 利用极零点图分析频率特性

$$H(s) = K \frac{\prod_{r=1}^M (s - z_r)}{\prod_{k=1}^N (s - p_k)}$$

收敛域包含虚轴

$$H(j\omega) = K \frac{\prod_{r=1}^M (j\omega - z_r)}{\prod_{k=1}^N (j\omega - p_k)}$$

$$B_r e^{j\psi_r}$$



$$= K \frac{\prod_{r=1}^M B_r e^{j\psi_r}}{\prod_{k=1}^N A_k e^{j\theta_k}}$$

$$A_k e^{j\theta_k}$$

$$= K \frac{B_1 e^{j\psi_1} \cdot B_2 e^{j\psi_2} \cdot \dots \cdot B_M e^{j\psi_M}}{A_1 e^{j\theta_1} \cdot A_2 e^{j\theta_2} \cdot \dots \cdot A_N e^{j\theta_N}}$$

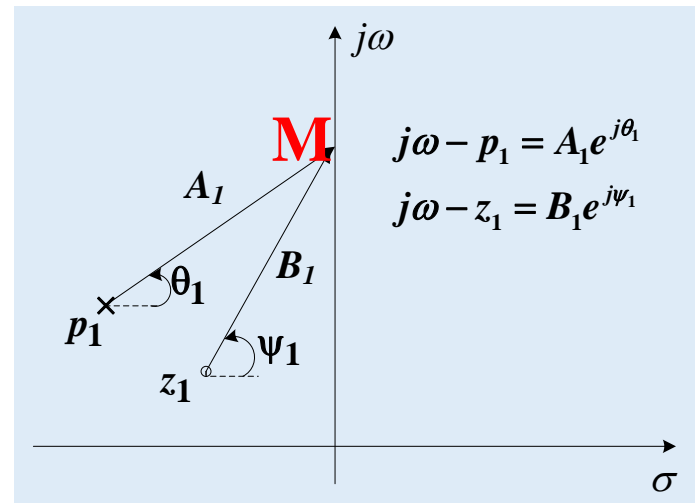
$$H(s) = K \frac{\prod_{r=1}^M (s - z_r)}{\prod_{k=1}^N (s - p_k)}$$

$$B_r e^{j\psi_r}$$

$$H(j\omega) = K \frac{\prod_{r=1}^M (j\omega - z_r)}{\prod_{k=1}^N (j\omega - p_k)} = K \frac{\prod_{r=1}^M B_r e^{j\psi_r}}{\prod_{k=1}^N A_k e^{j\theta_k}}$$

$$= K \frac{B_1 e^{j\psi_1} \cdot B_2 e^{j\psi_2} \cdot \dots \cdot B_M e^{j\psi_M}}{A_1 e^{j\theta_1} \cdot A_2 e^{j\theta_2} \cdot \dots \cdot A_N e^{j\theta_N}}$$

$$= K \frac{B_1 \cdot B_2 \cdot \dots \cdot B_M \cdot e^{j(\psi_1 + \psi_2 + \dots + \psi_M)}}{A_1 \cdot A_2 \cdot \dots \cdot A_N \cdot e^{j(\theta_1 + \theta_2 + \dots + \theta_N)}} = K \frac{\prod_{r=1}^M B_r}{\prod_{k=1}^N A_k} e^{j\left(\sum_{r=1}^M \psi_r - \sum_{k=1}^N \theta_k\right)}$$



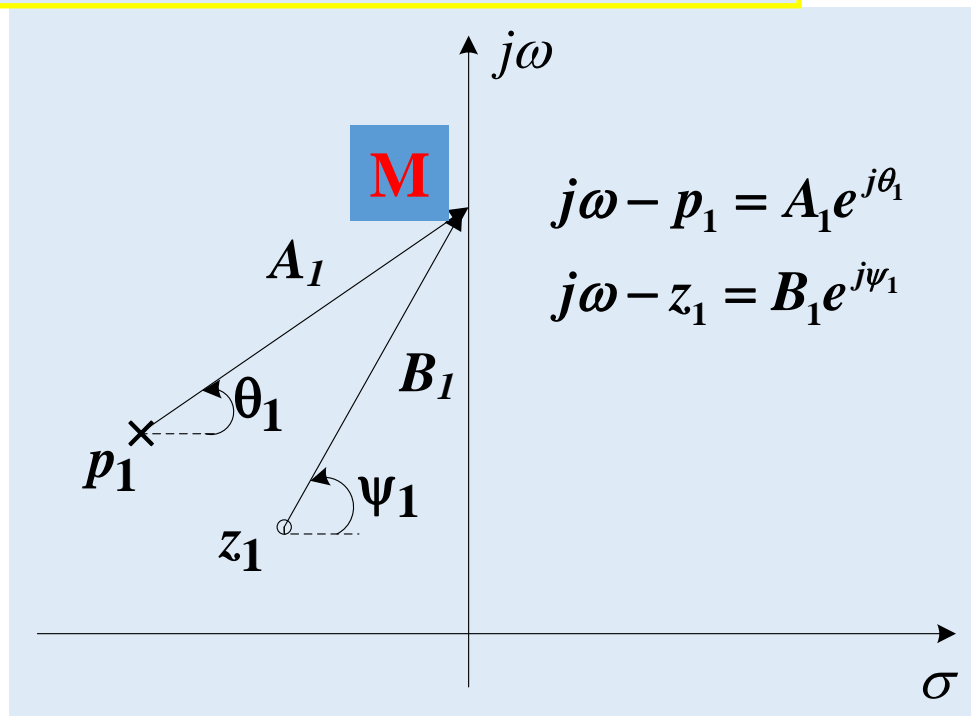
$$|H(j\omega)| = \frac{\text{各零点到虚轴上的向量长度之积}}{\text{各极点到虚轴上的向量长度之积}}$$

$$\angle H(j\omega) = \text{各零点到虚轴上的向量相角之和} \\ - \text{各极点到虚轴上的向量相角之和}$$

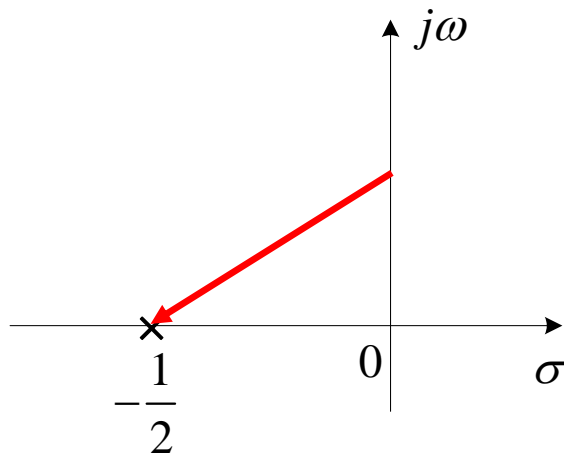
$$= |H(j\omega)| e^{j\angle H(j\omega)}$$

$$|H(j\omega)| = K \frac{\prod_{r=1}^M B_r}{\prod_{k=1}^N A_k}$$

$$\angle H(j\omega) = \sum_{r=1}^M \psi_r - \sum_{k=1}^N \theta_k$$



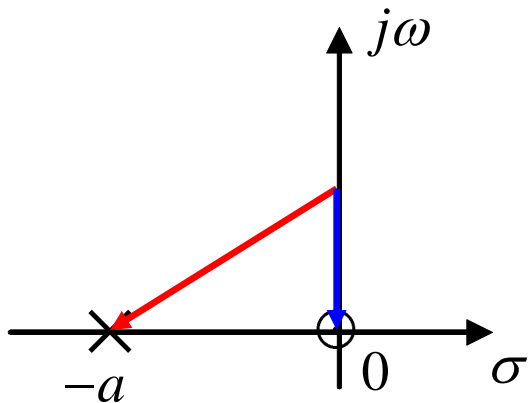
例：具有如下所示极零点图的系统，判断其滤波特性。



(1)

$$|H(j\omega)| = \frac{K}{A_1}$$

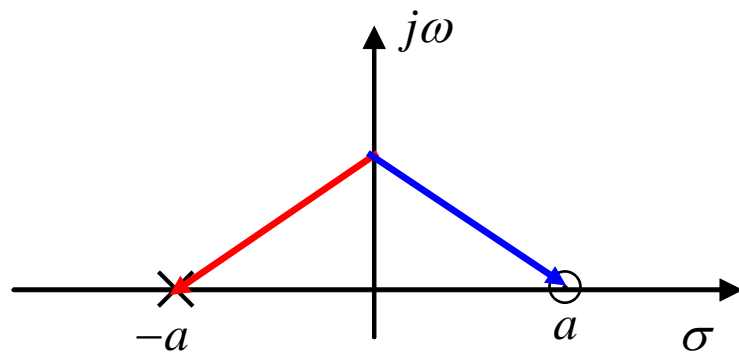
例：具有如下所示极零点图的系统，判断其滤波特性。



(2)

$$|H(j\omega)| = K \frac{B_1}{A_1}$$

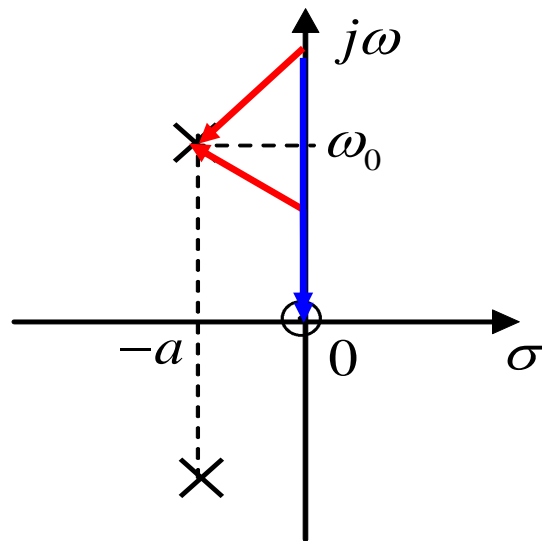
例：具有如下所示极零点图的系统，判断其滤波特性。



(3)

$$|H(j\omega)| = K \frac{B_1}{A_1} = K$$

例：具有如下所示极零点图的系统，判断其滤波特性。



(4)

$$|H(j\omega)| = K \frac{B_1}{A_1 A_2}$$

6.5.3 系统的稳定性与因果性

1. 系统因果性的定义

因果系统的定义：系统在任何时刻的输出只与当前时刻或当前时刻以前的输入有关，而与未来的输入无关。

非因果系统：输出与未来的输入有关。

2. 系统函数的收敛域与系统因果性

$H(s)$ 的收敛轴过某极点

若 $H(s)$ 为因果系统，其ROC为过**最右边极点的垂线的右边**。

$h(t) = 0, \quad t < 0$ 因果系统的充要条件

3. 系统稳定性的定义

零状态响应

如果系统对于任意一个有界输入，输出也有界，则系统称为稳定系统。(BIBO稳定性)

4. 稳定的充要条件

连续时间系统稳定的充分必要条件是：冲激响应 $h(t)$ 是绝对可积的

$$\int_{-\infty}^{\infty} |h(t)| dt < M \Rightarrow \begin{cases} \lim_{t \rightarrow \infty} |h(t)| = 0 \\ \lim_{t \rightarrow -\infty} |h(t)| = 0 \end{cases}$$

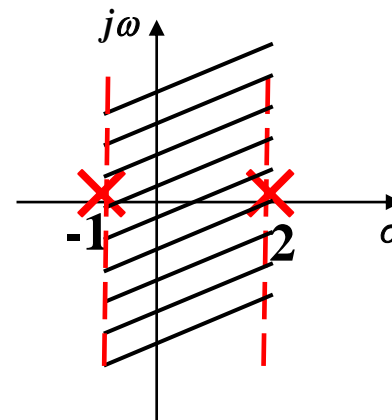
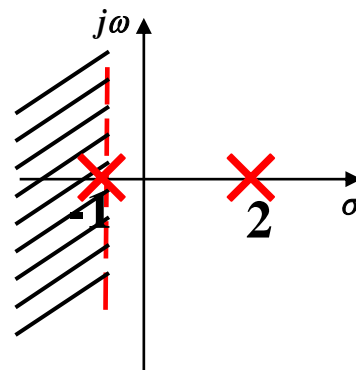
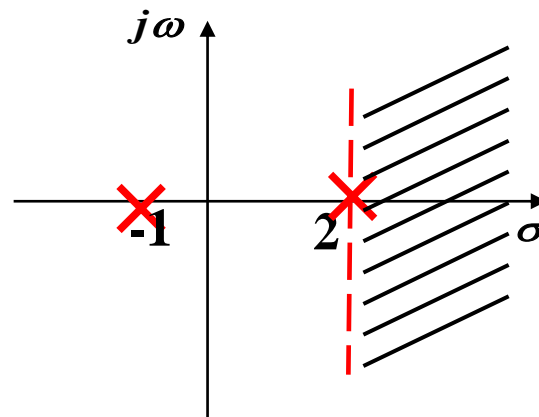
$\Leftrightarrow H(s)$ 的 ROC 含 $j\omega$ 轴

例： $H(s) = \frac{s-1}{(s+1)(s-2)}$ ，判断系统的稳定性和因果性。

解：极点 $s_1=-1$ (一阶), $s_2=2$ (一阶)

ROC有三种情况：

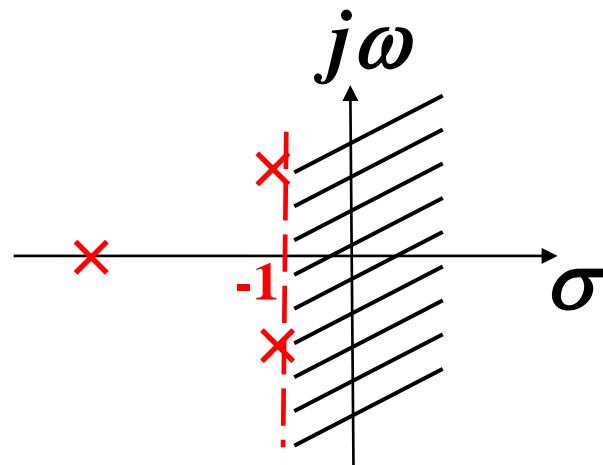
- (1) $\sigma > 2$ 因果非稳定
- (2) $\sigma < -1$ 非因果非稳定
- (3) $-1 < \sigma < 2$ 非因果稳定



例：因果系统： $H(s) = \frac{s^2 + s + 5}{s^3 + 6s^2 + 10s + 8}$ ，判断系统的稳定性

解：极点 $s_1 = -4$ (一阶)， $s_2 = -1 + j$ (一阶)， $s_3 = -1 - j$ (一阶)

三个极点的实部均小于0，全部位于s平面的左半平面，
因此，系统是稳定的。



根据 $H(s)$ ，求出极点（特征方程的特征根），
再根据收敛域的情况，来判断稳定性、因果性

6.5.4 系统函数与时域响应

对于因果LTI系统

$$e^{at}\varepsilon(t) \leftrightarrow \frac{1}{s-a}$$

极点为 a

$$\varepsilon(t) \leftrightarrow \frac{1}{s}$$

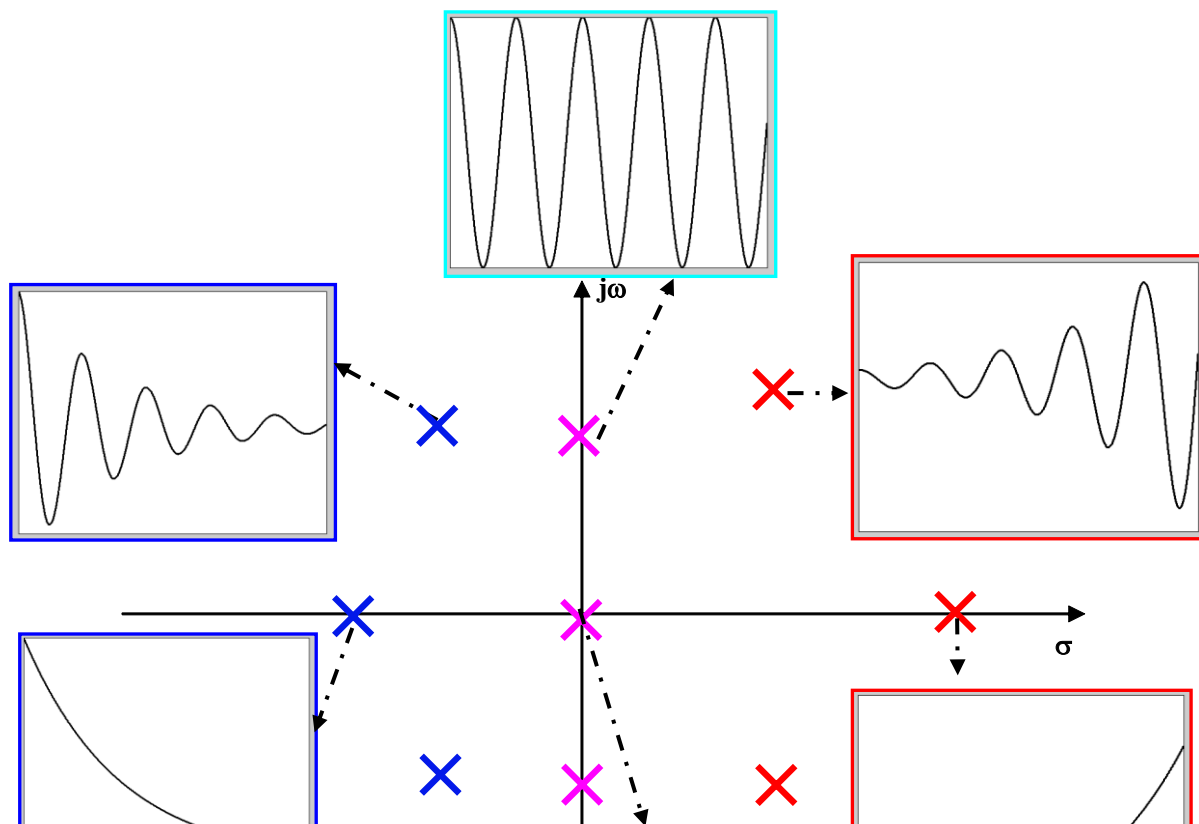
极点为 0

$$\sin \omega_0 t \varepsilon(t) \leftrightarrow \frac{\omega_0}{s^2 + \omega_0^2}$$

极点为 $\pm j\omega_0$

$$e^{at} \sin \omega_0 t \varepsilon(t) \leftrightarrow \frac{\omega_0}{(s-a)^2 + \omega_0^2}$$

极点为 $a \pm j\omega_0$



$$e^{at} \varepsilon(t) \leftrightarrow \frac{1}{s-a}$$

$$\varepsilon(t) \leftrightarrow \frac{1}{s}$$

$$\sin \omega_0 t \varepsilon(t) \leftrightarrow \frac{\omega_0}{s^2 + \omega_0^2}$$

$$e^{at} \sin \omega_0 t \varepsilon(t) \leftrightarrow \frac{\omega_0}{(s-a)^2 + \omega_0^2}$$

对于因果系统：

左半开平面的极点对应的特征模式衰减（或振荡衰减）；

虚轴上的一阶极点对应的特征模式不随时间变化（或等幅振荡）；

右半开平面的极点对应的特征模式增长（或振荡增长）。 习题：6-6~6-14

复习课上课时间：6月19日晚19:00-20:00

授课形式：线上授课

线上授课工具：腾讯会议，会议链接会提前发布在课程QQ群

无考勤，完全自愿

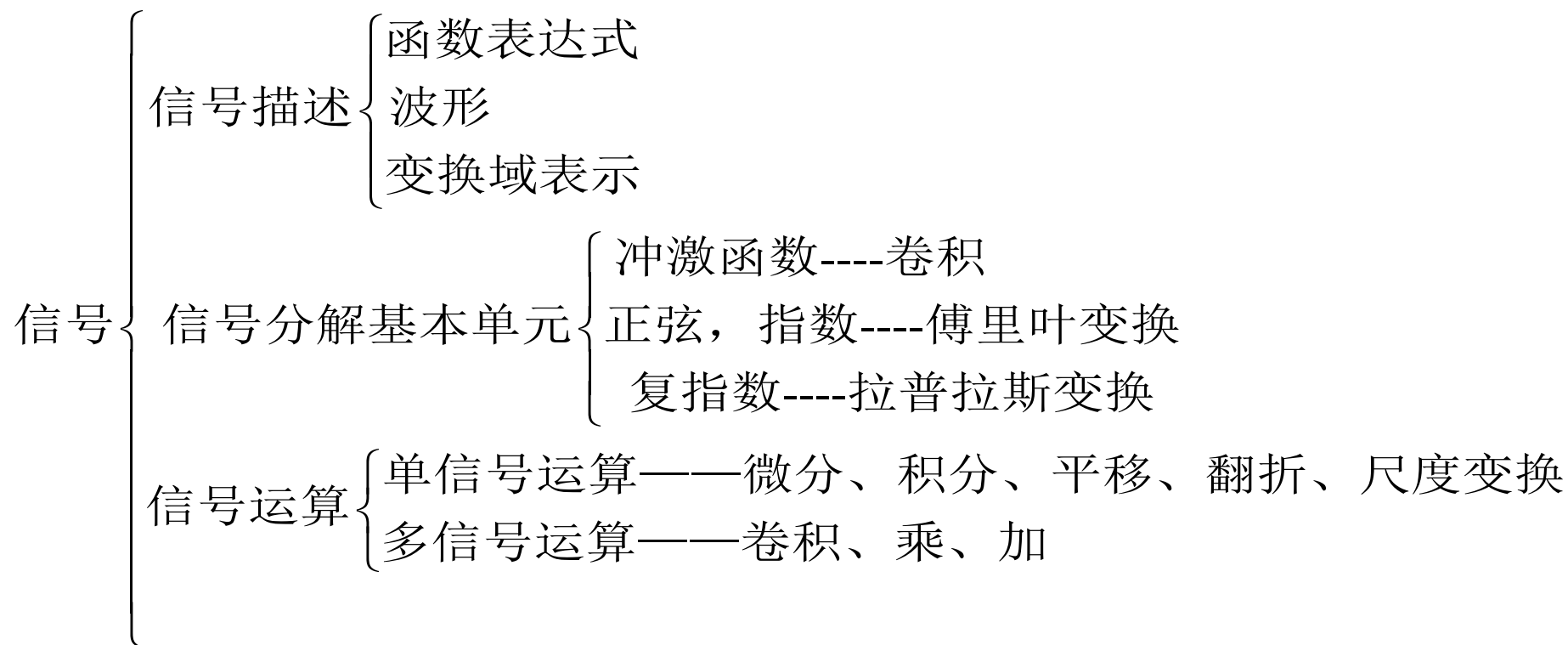
信号与电路系统基础复习课

- 电路元件及特性
- 信号
- 系统
- 电路系统分析

1 电路元件及其特性

- 电阻、电感、电容
- 电源
 - 理想电压源、理想电流源
 - 受控电源
- 理想运放（虚短、虚断）
- 互感
- 理想变压器

2 信号



- 电压、电流

- u 、 U 、 \dot{U} 、 $U(j\omega)$ 、 $U(s)$
- i 、 I 、 \dot{I} 、 $I(j\omega)$ 、 $I(s)$

- 功率

- p 、 P 、 Q 、 S 、 $\tilde{S} = P + jQ$

冲激和阶跃

$$\delta(t) = \frac{d}{dt} \varepsilon(t) \quad \text{微分}$$

$$\varepsilon(t) = \int_{-\infty}^t \delta(\tau) d\tau \quad \text{积分}$$

$$h(t) = \frac{d}{dt} g(t)$$

$$g(t) = \int_{-\infty}^t h(\tau) d\tau$$

冲激性质

$$\int_{-\infty}^{\infty} \delta(t) dt = 1$$

$$x(t)\delta(t) = x(0)\delta(t)$$

$$\int_{-\infty}^{\infty} x(t)\delta(t) dt = x(0)$$

$$x(t) * \delta(t) = x(t)$$

$$x(t - t_1) * \delta(t - t_2) = x(t - t_1 - t_2), \quad x_1(t) * x_2(t) = \frac{d}{dt} x_1(t) * \int_{-\infty}^t x_2(\tau) d\tau$$

信号的变换

$$\text{变换} \left\{ \begin{array}{l} \text{周期: } f(t) = c_0 + \sum_{n=1}^{\infty} c_n \cos(n\omega_1 t + \theta_n) = \sum_{n=-\infty}^{\infty} F_n e^{jn\omega_1 t} \\ \text{非周期: } \left\{ \begin{array}{l} F(j\omega) = \int_{-\infty}^{\infty} f(t) e^{-j\omega t} dt, \quad f(t) = \frac{1}{2\pi} \int_{-\infty}^{\infty} F(j\omega) e^{j\omega t} d\omega \\ F(s) = \int_{-\infty}^{\infty} f(t) e^{-st} dt, \quad f(t) = \frac{1}{2\pi j} \int_{\sigma-j\infty}^{\sigma+j\infty} F(s) e^{st} ds \end{array} \right. \end{array} \right.$$

关系、桥梁

- 傅里叶变换是傅里叶级数的推广
- 单频率上的傅里叶变换-----相量域
- 虚轴上的拉氏变换-----傅里叶变换
- 方程的特征根-----系统函数的极点

常用信号的变换及变换的性质

连续信号 傅氏变换 拉氏变换

$$\delta(t) \qquad \qquad 1 \qquad \qquad 1$$

$$\varepsilon(t) \qquad \pi\delta(\omega) + \frac{1}{j\omega} \qquad \frac{1}{s}$$

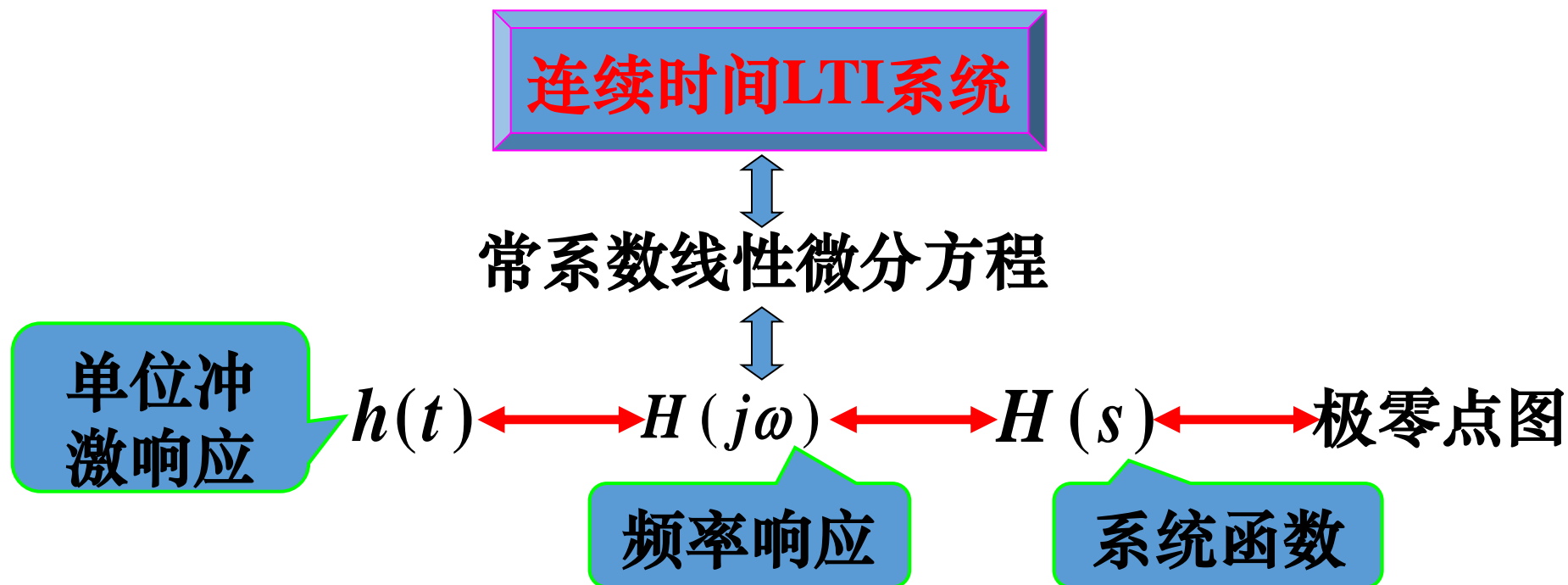
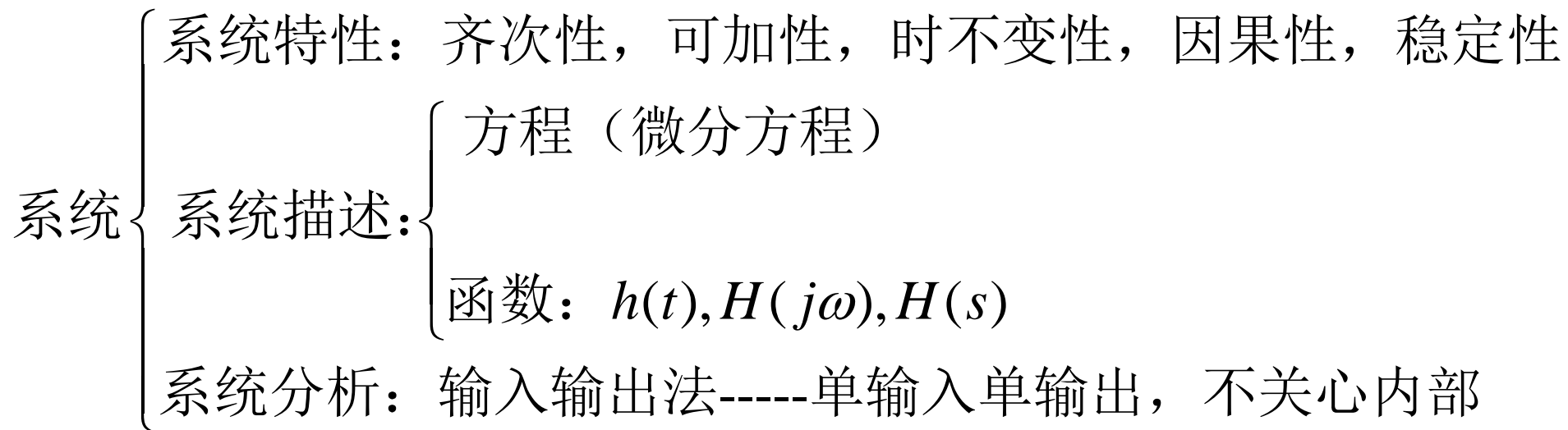
$$e^{-at}\varepsilon(t) \qquad \frac{1}{j\omega + a} \qquad \frac{1}{s + a}$$

$$te^{-at}\varepsilon(t) \qquad \frac{1}{(j\omega + a)^2} \qquad \frac{1}{(s + a)^2}$$

$$G_\tau(t) \qquad \tau \operatorname{Sa}\left(\frac{\omega\tau}{2}\right)$$

- 线性、对偶性（傅里叶变换）、尺度变换、时移、频移、时域微分/积分、变换域微分/积分、时域卷积

3 系统



4 电路系统求解

- 一般电路系统的方程列写依据
 - (推广的) 欧姆定律、KCL、KVL
 - 电路变换、叠加定理、戴维南/诺顿等效、最大功率传输 (功率补偿)
 - 节点电压法、回路电流法

- 动态电路

求解 {

- 时域 { 经典法----齐次解, 特解
双零法----零输入, 零状态
- 卷积: 连续卷积积分——零状态响应
- 变换域求响应 { 傅里叶变换 $Y_{zs}(j\omega) = H(j\omega)X(j\omega)$
单边拉氏变换: 全响应

节点电压法

节点电压法方程的一般形式

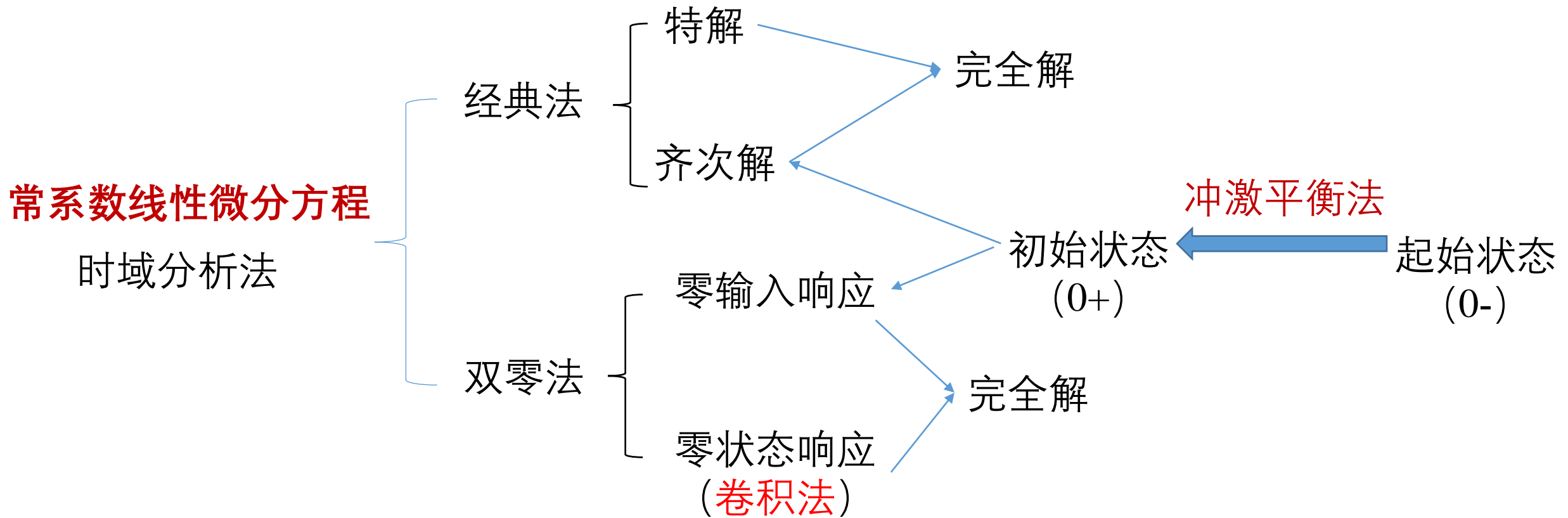
$$\begin{bmatrix} G_{11} & G_{12} & \cdots & G_{1n} \\ G_{21} & G_{22} & & G_{2n} \\ \vdots & & & \vdots \\ G_{n1} & G_{n2} & \cdots & G_{nn} \end{bmatrix} \begin{bmatrix} u_{n1} \\ u_{n2} \\ \vdots \\ u_{nn} \end{bmatrix} = \begin{bmatrix} i_{sn1} \\ i_{sn2} \\ \vdots \\ i_{snn} \end{bmatrix}$$

G_{jj} : 自电导
 G_{ij} : 互电导, 恒为负

i_{sni} : 流入第*i*个节点电流源（包括等效电流源）电流的代数和。

- 适用于静态电路、正弦稳态电路分析
- 含受控源支路时如何处理？
- 含独立源支路时如何处理？
- 与回路电流法的关系？

LTI连续时间系统的时间域分析方法



- 思考：1. 一阶动态电路的三要素法属于上述哪种分析方法？
2. 与傅里叶变换法、拉普拉斯变换法的关系？

傅里叶变换求响应

输入	系统	输出
$e^{j\omega_0 t}$		$ H(j\omega_0) e^{j(\omega_0 t + \varphi_0)}$
$A\sin(\omega_0 t + \theta)$	$H(j\omega)$	$ H(j\omega_0) A\sin(\omega_0 t + \theta + \varphi_0)$
$A\cos(\omega_0 t + \theta)$		$ H(j\omega_0) A\cos(\omega_0 t + \theta + \varphi_0)$

$$H(j\omega) = |H(j\omega)|e^{j\varphi}$$

思考：与相量法的关系？

拉普拉斯功能

1、解微分方程

$$y(t) \Rightarrow Y(s) \quad y'(t) \Rightarrow sY(s) - y(0_-)$$

$$y''(t) \Rightarrow s^2Y(s) - sy(0_-) - y'(0_-)$$

2、分析电路

$$i_C(t) = C \frac{du_C(t)}{dt} \Rightarrow I_C(s) = C[sU_C(s) - u_C(0_-)]$$

$$u_L(t) = L \frac{di_L(t)}{dt} \Rightarrow U_L(s) = L[sI_L(s) - i_L(0_-)]$$

3、稳定性分析

因果系统稳定条件：系统函数的极点都在左半平面